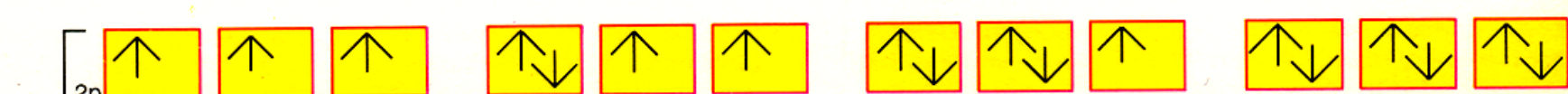
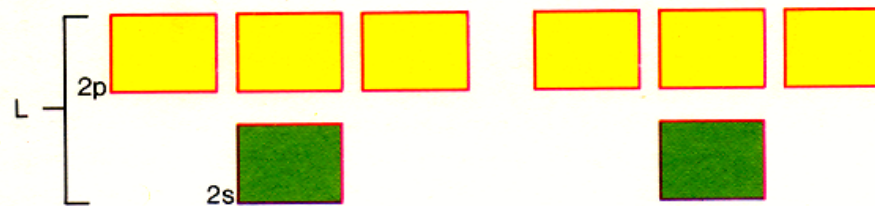


Distribuição de elétrons nos elementos leves



$E = 0$

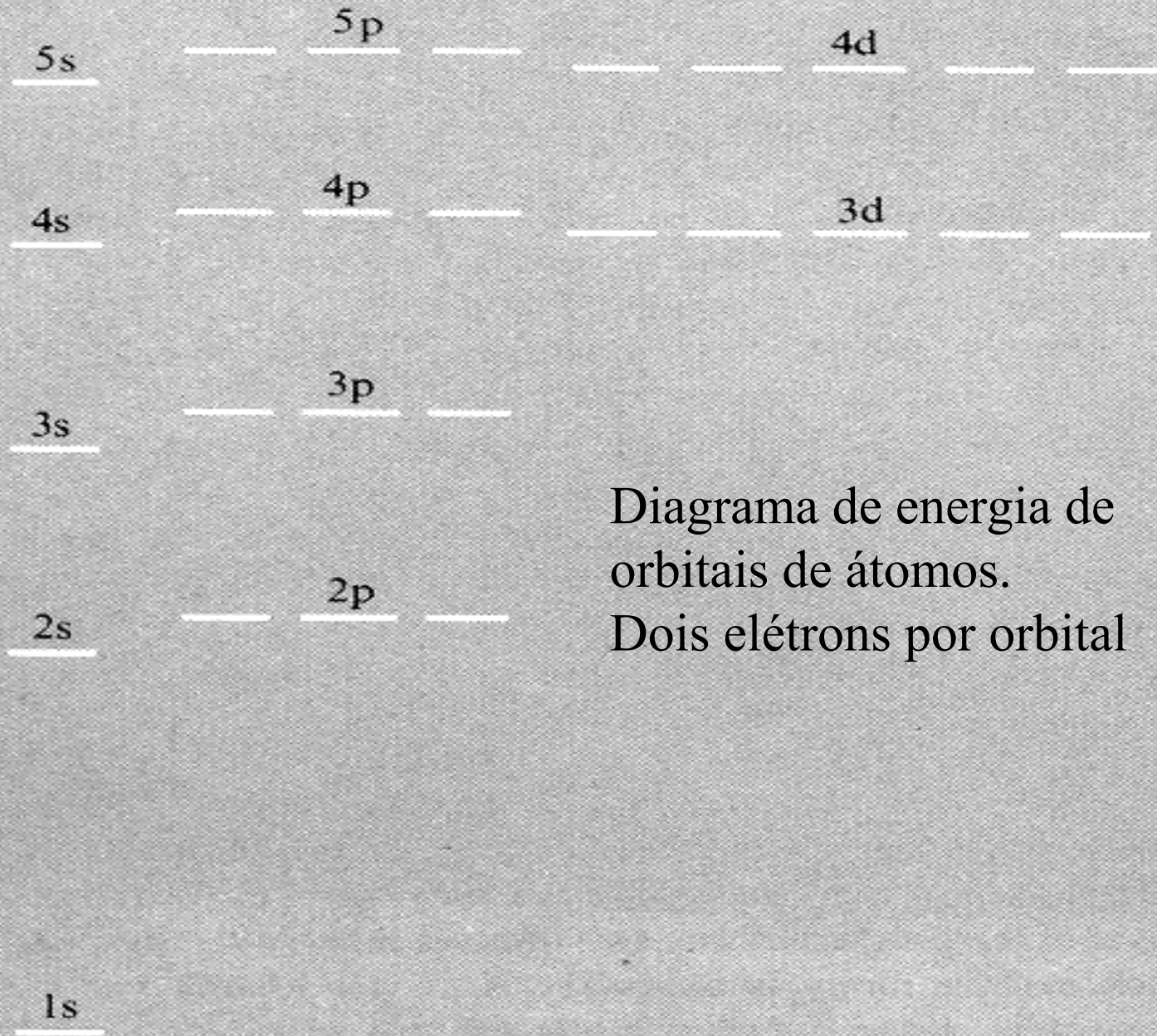


Diagrama de energia de
orbitais de átomos.
Dois elétrons por orbital

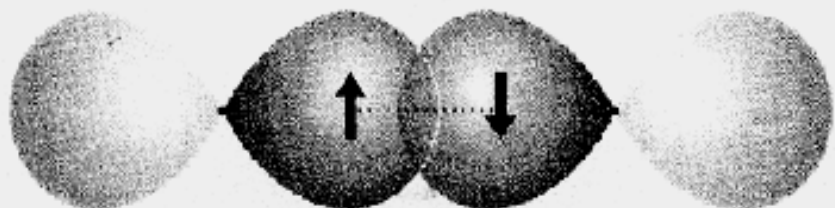


Figura 3.4 A formação de uma ligação σ na teoria LV é representada graficamente como surgindo do emparelhamento de elétrons nos dois orbitais atômicos contribuintes e da sua sobreposição.

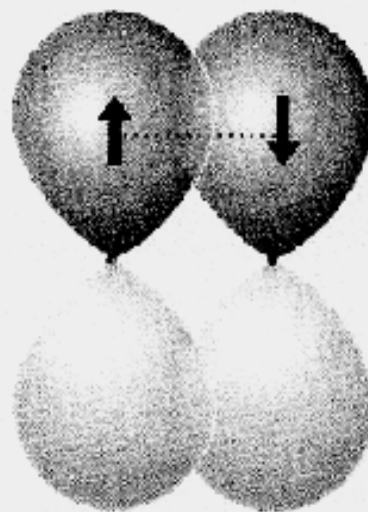
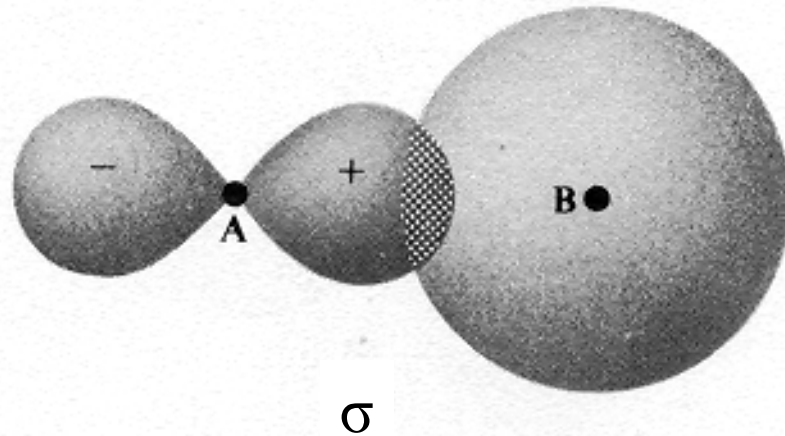
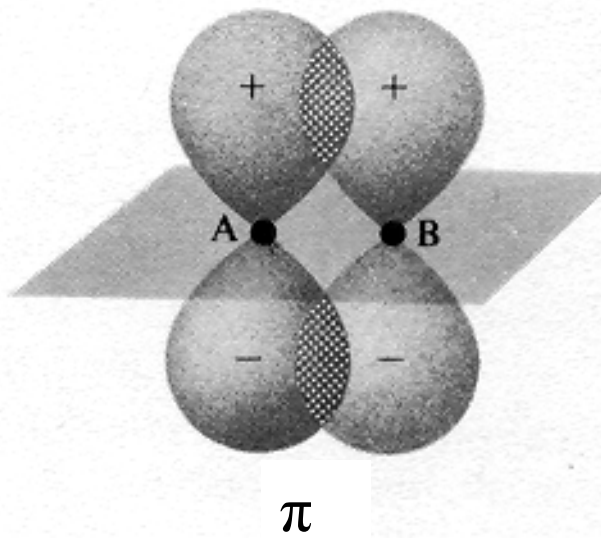
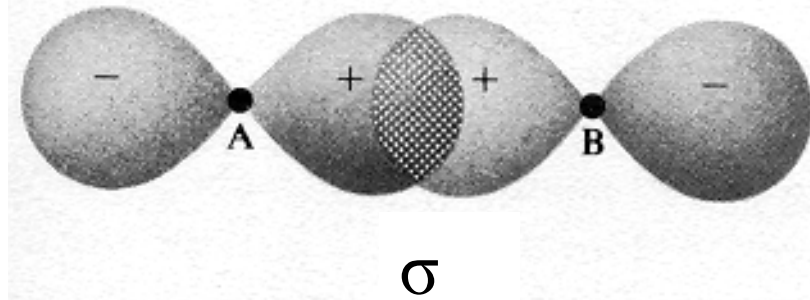
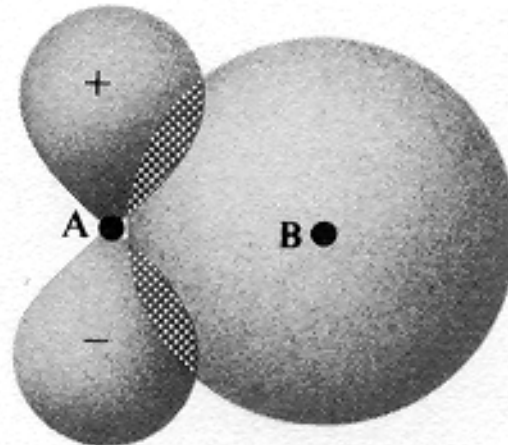
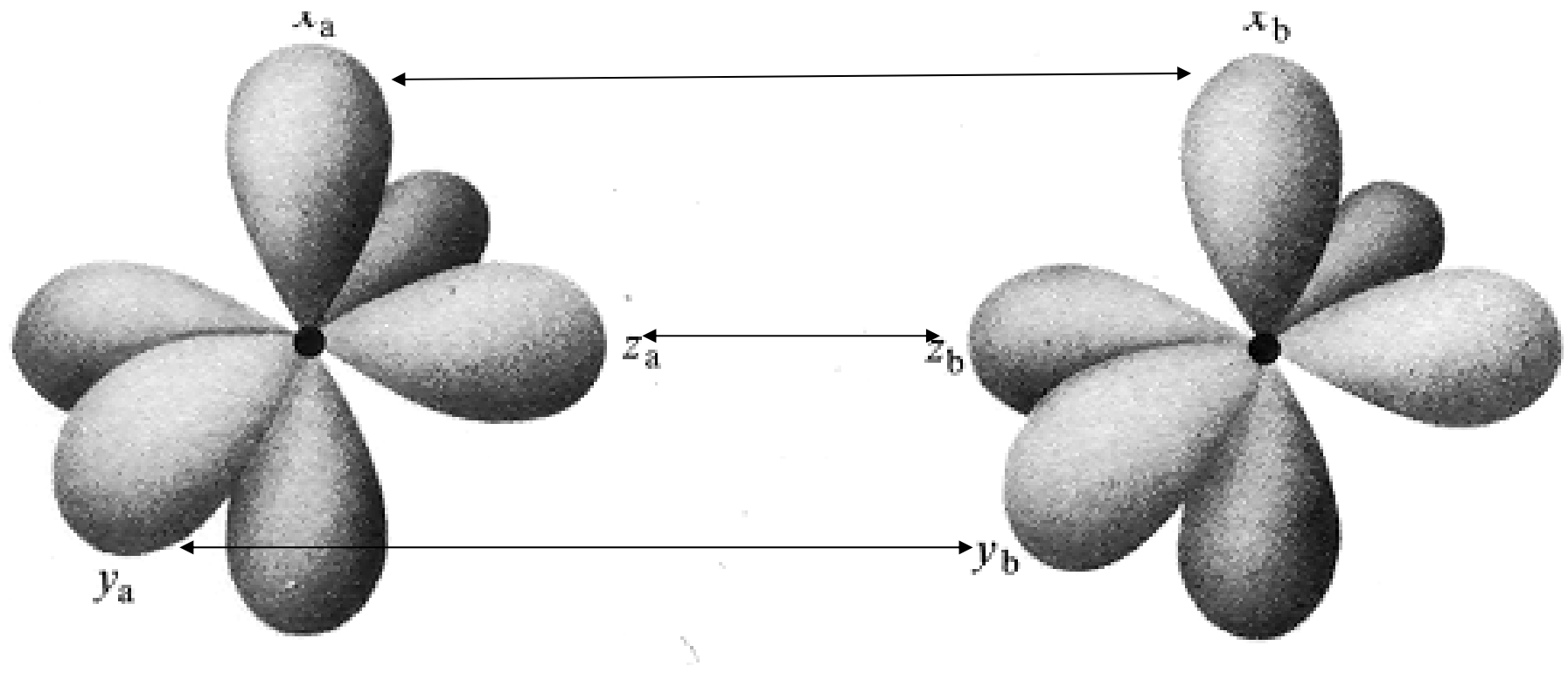


Figura 3.5 Formação da ligação π na teoria LV quando dois elétrons desemparelhados estão em um par de orbitais vizinhos e há sobreposição dos orbitais.

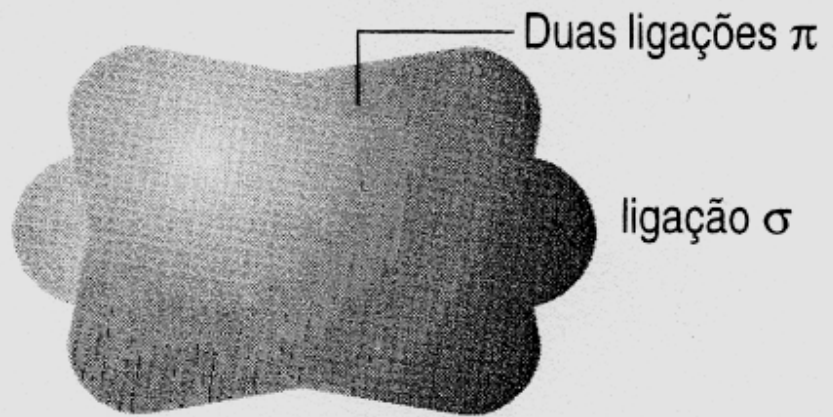
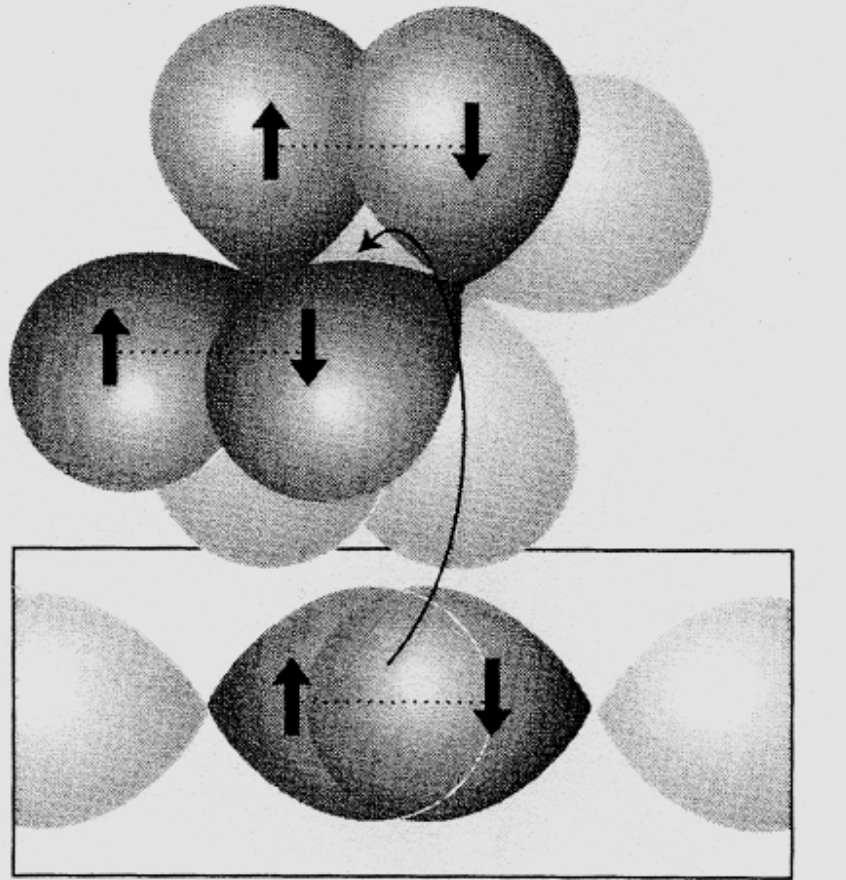


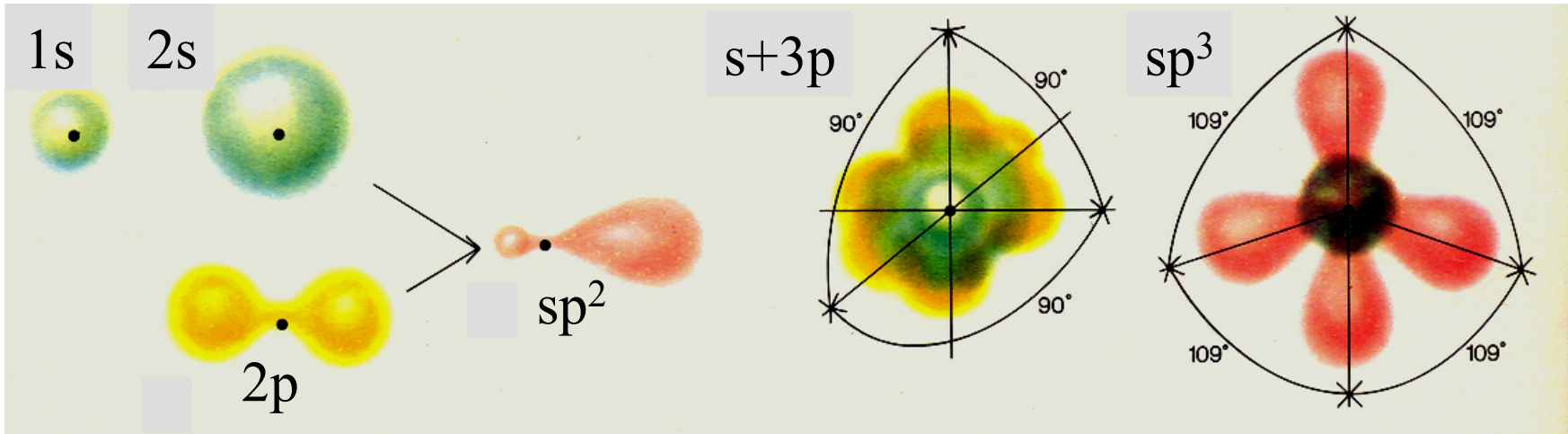
Recobrimento de diferentes tipos de orbitais atômicos





Ligaçāo tripla no N_2 = uma ligação sigma + duas pi



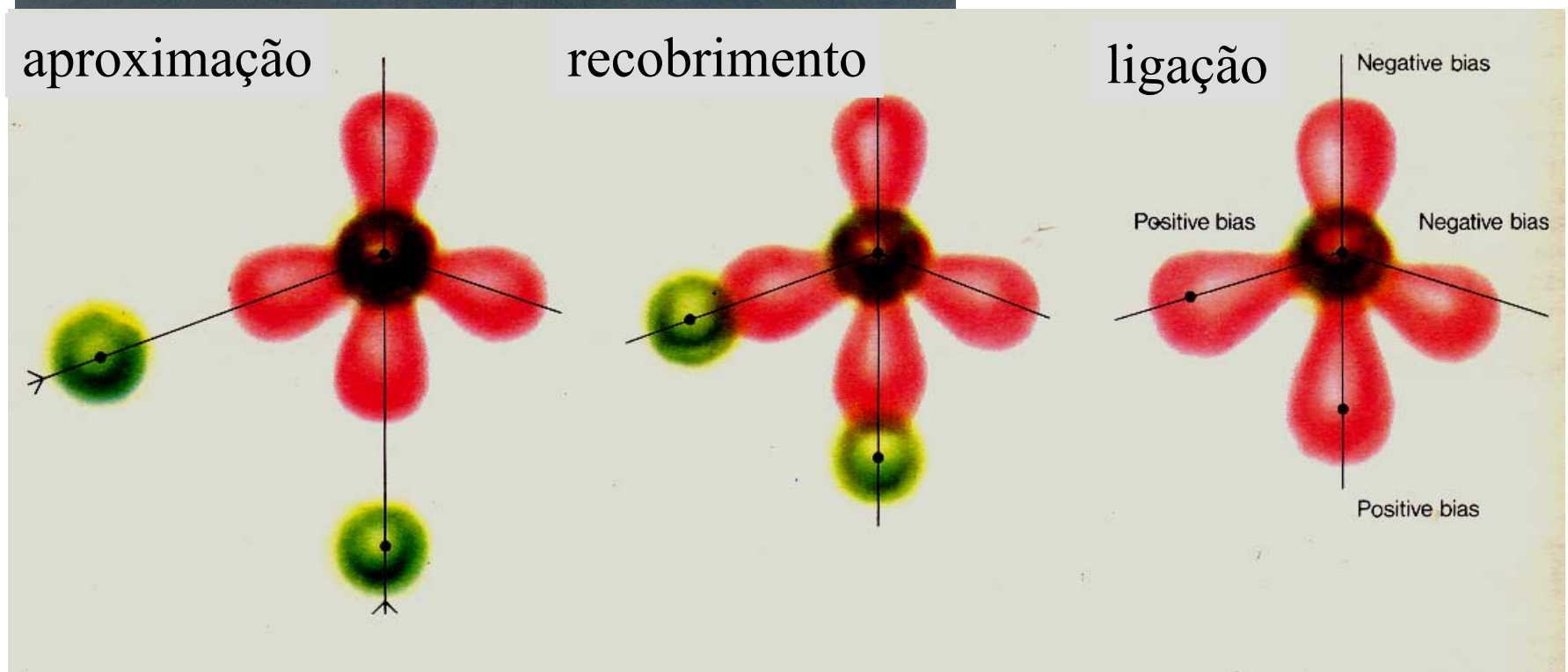
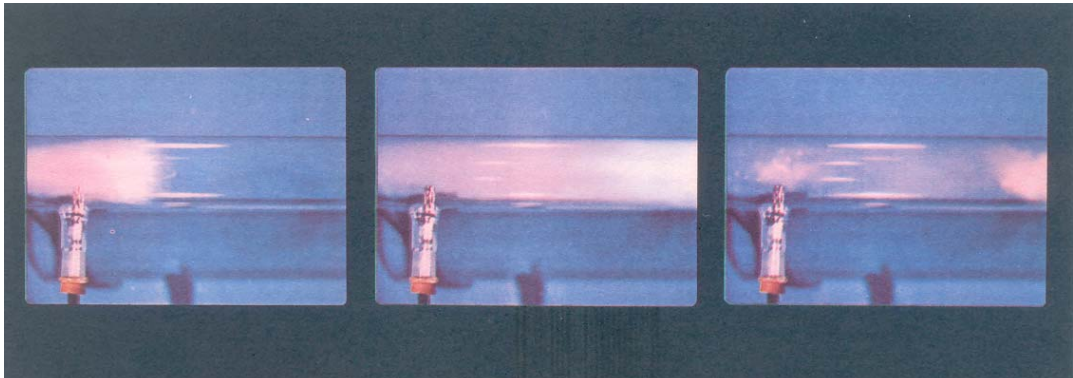


- Orbitais atômicos podem ser *hibridizados*, isto é, combinados formando um novo conjunto de orbitais, com geometria diferente da dos orbitais formadores.
- 1 orbital s e 3 orbitais p formam um híbrido sp^3 , com simetria tetraédrica.

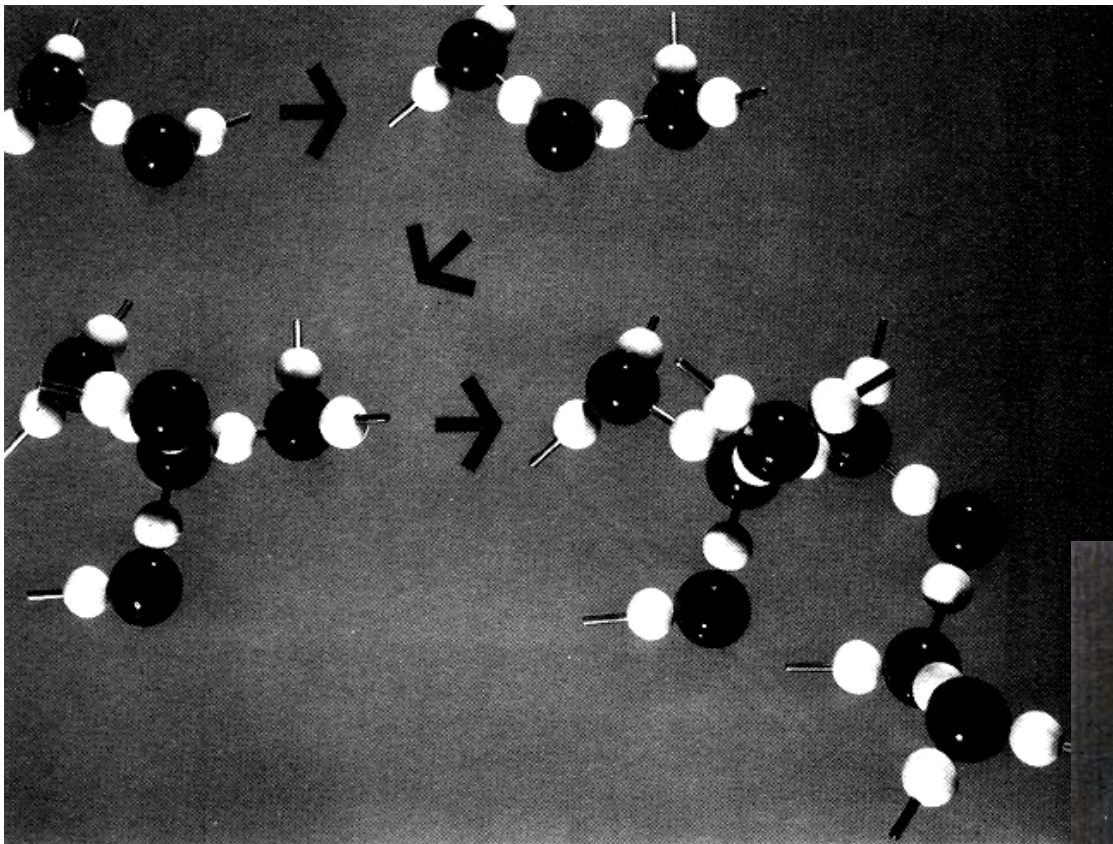
Tabela 3.8 Alguns tipos de hibridização

Número de coordenação	Arranjo	Composição
2	Linear	sp, pd, sd
	Angular	sd
3	Trigonal planar	sp^2, p^2d
	Planar assimétrico	spd
	Bipiramidal trigonal	pd^2
4	Tetraédrico	sp^3, sd^3
	Tetraédrico irregular	spd^2, p^3d, pd^3
	Quadrado planar	p^2d^2, sp^2d
5	Bipiramidal trigonal	sp^3d, spd^3
	Bipiramidal tetragonal	$sp^2d^2, sd^4, pd^4, p^3d^2$
	Pentagonal planar	p^2d^3
6	Octaédrico	sp^3d^2
	Trigonal prismático	spd^4, pd^6
	Trigonal antiprismático	p^3d^3

Fonte: H. Eyring, J. Walter e G.E. Kimball, *Quantum chemistry*. Wiley, New York (1944).

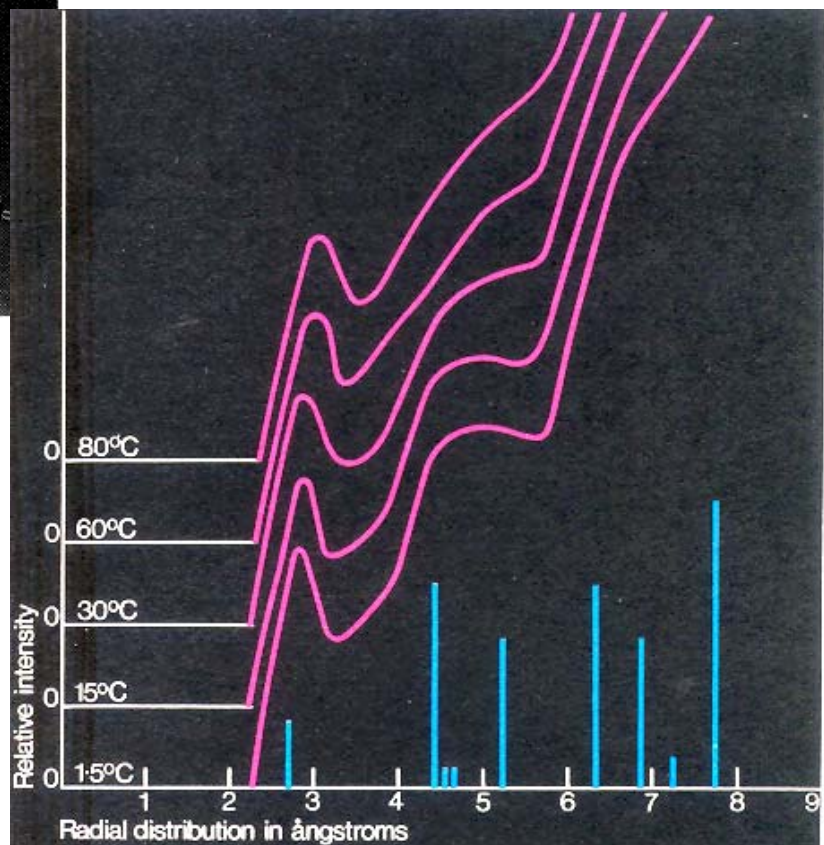


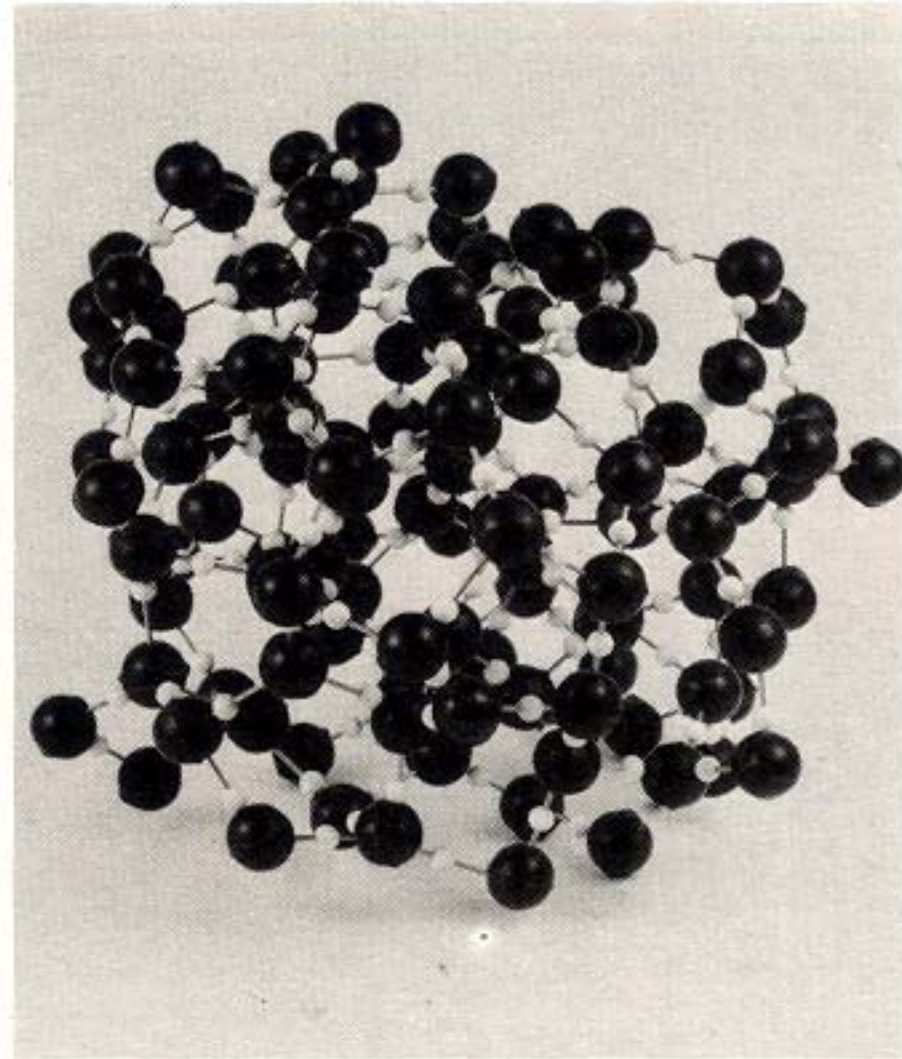
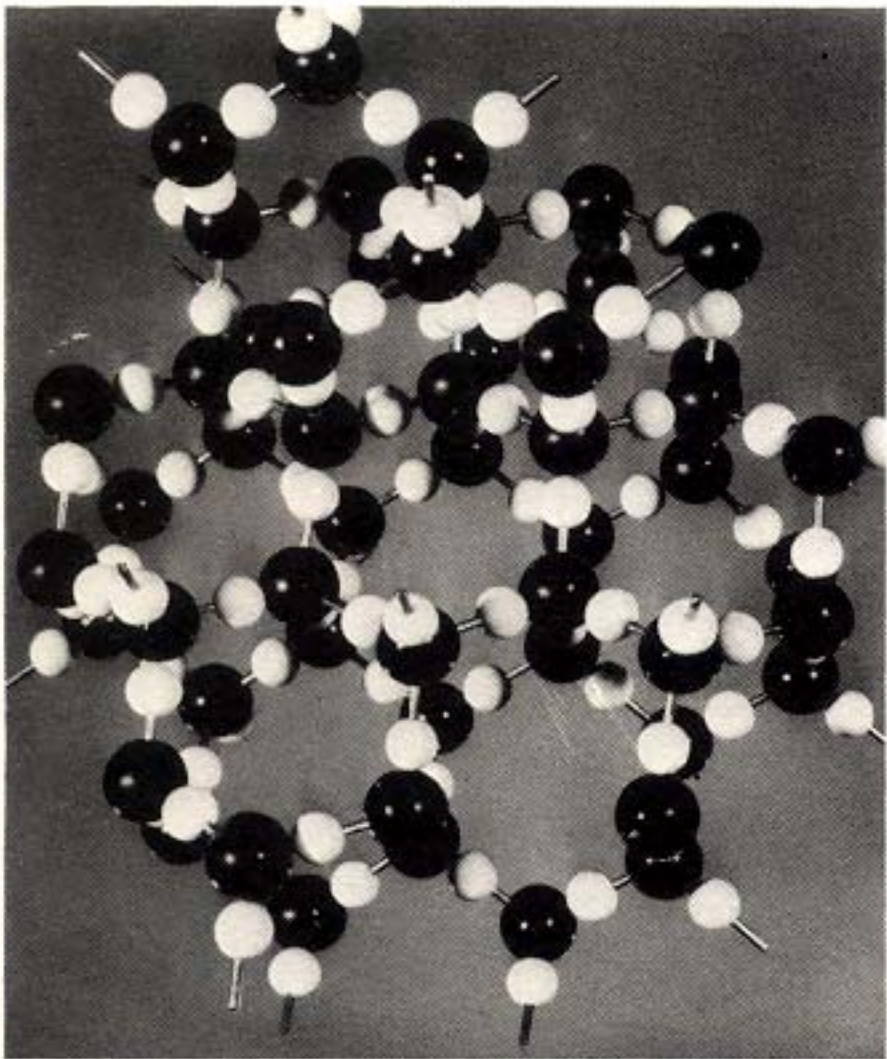
A geometria da molécula de água mostra um ângulo de 105° entre os H, portanto não se trata apenas de ligação de elétrons s de H com elétrons p de O



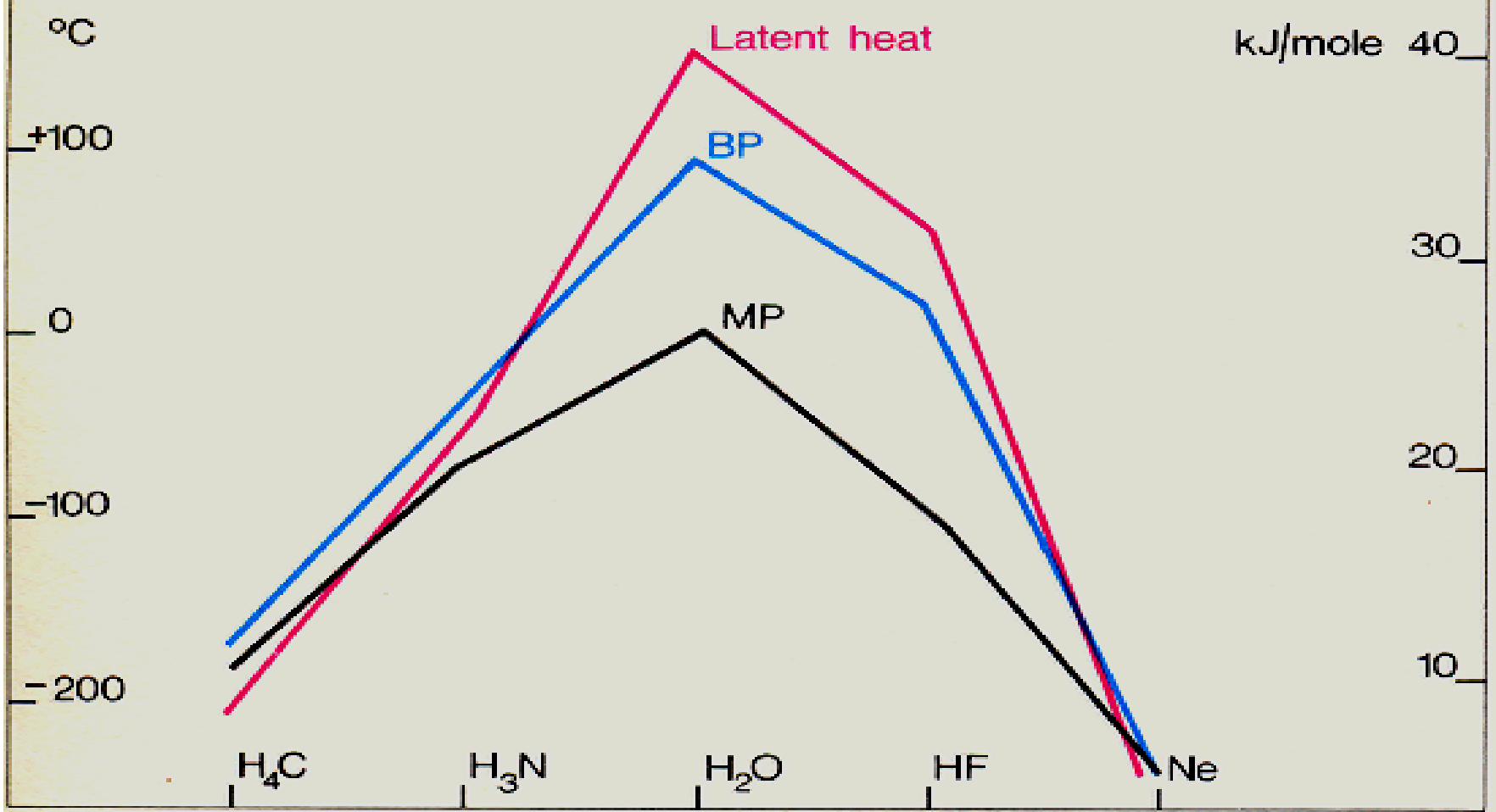
Modelo de formação de pontes H entre moléculas de água

Curvas de distribuição radial da água em várias temperaturas. As distâncias são contadas a partir de uma molécula central e as intensidades são proporcionais ao número de moléculas vizinhas



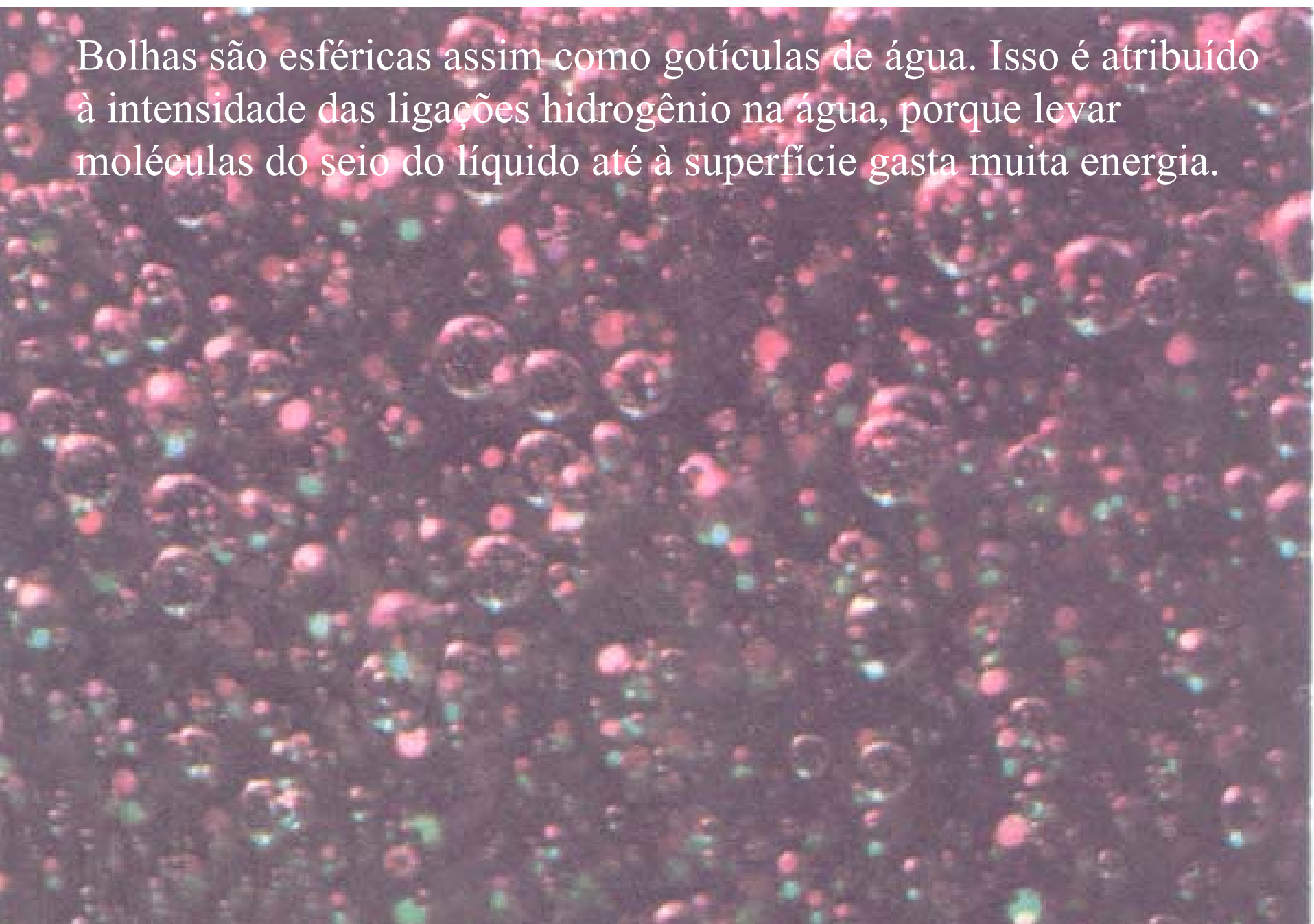


Dois modelos de organização das moléculas de água líquida. Nos dois casos há vazios que podem ser preenchidos por moléculas desconectadas ou por outras substâncias (“clatratos”).



- Todas essas moléculas são isoeletrônicas, mas suas propriedades físicas macroscópicas dependem muito da *polaridade* da ligação com hidrogênio.

Bolhas são esféricas assim como gotículas de água. Isso é atribuído à intensidade das ligações hidrogênio na água, porque levar moléculas do seio do líquido até à superfície gasta muita energia.



- A formação de ligações covalentes se dá pelo *compartilhamento* de elétrons.
- Na descrição de *orbitais moleculares*, os orbitais atômicos se combinam formando orbitais que contêm elétrons compartilhados pelos átomos ligados.

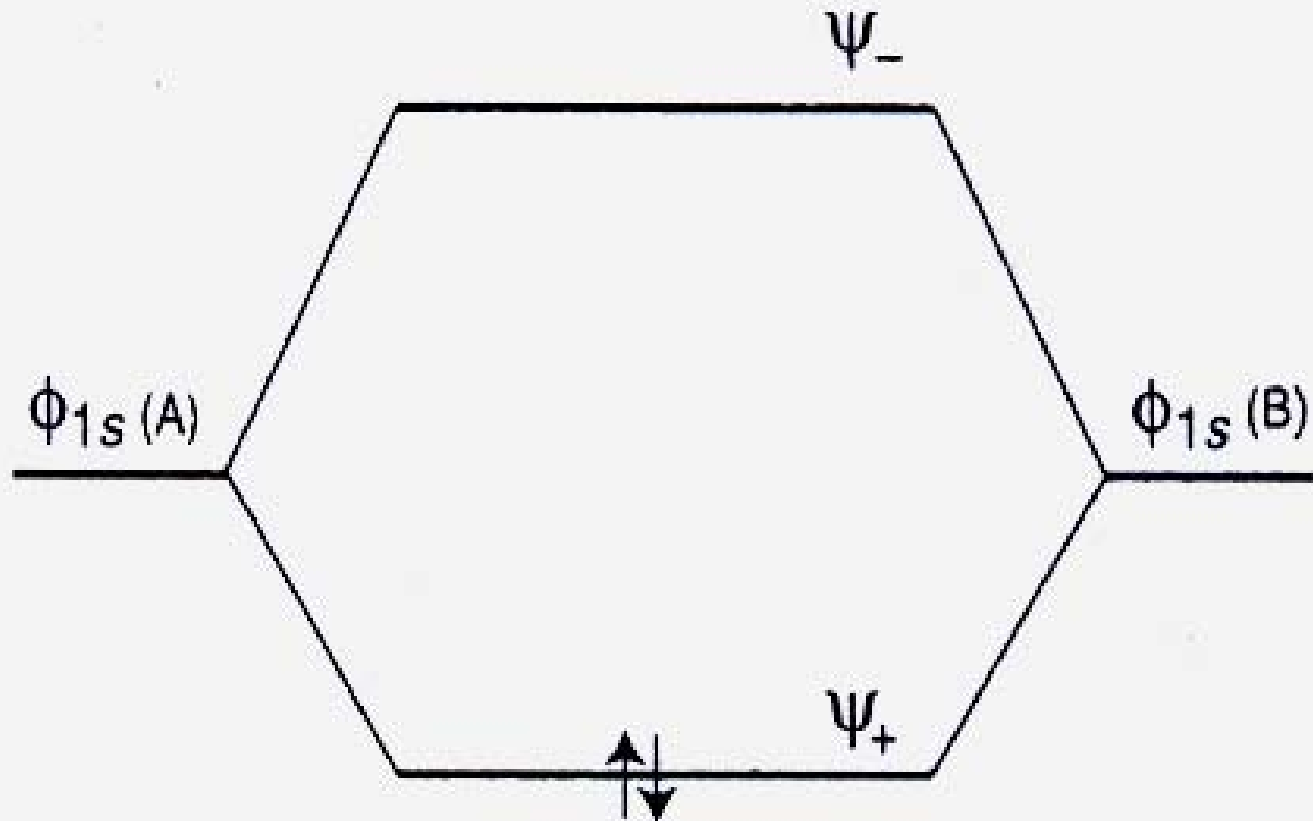
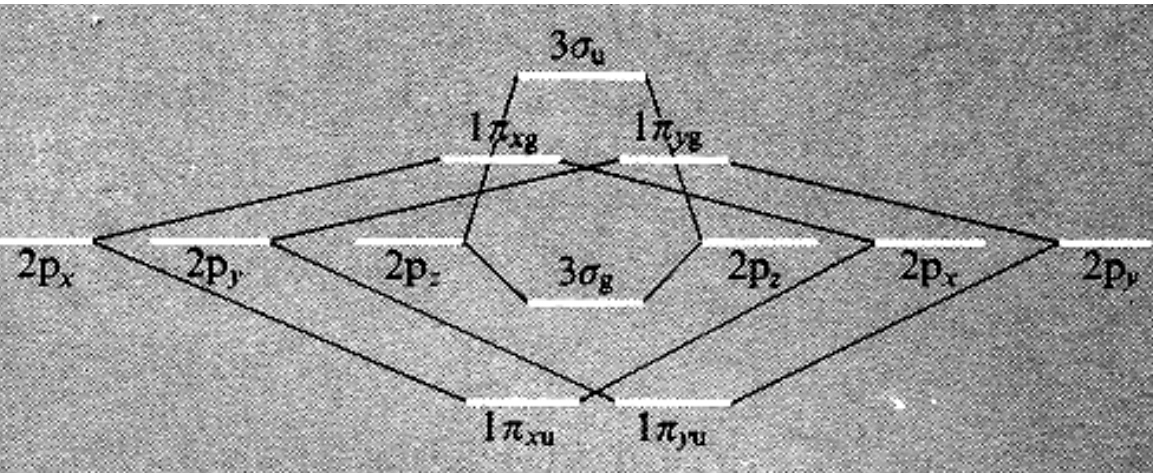
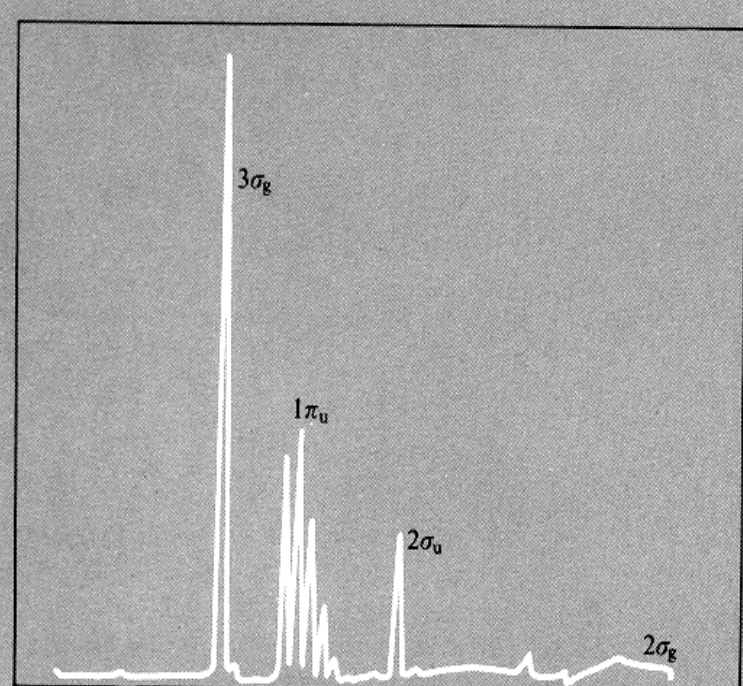
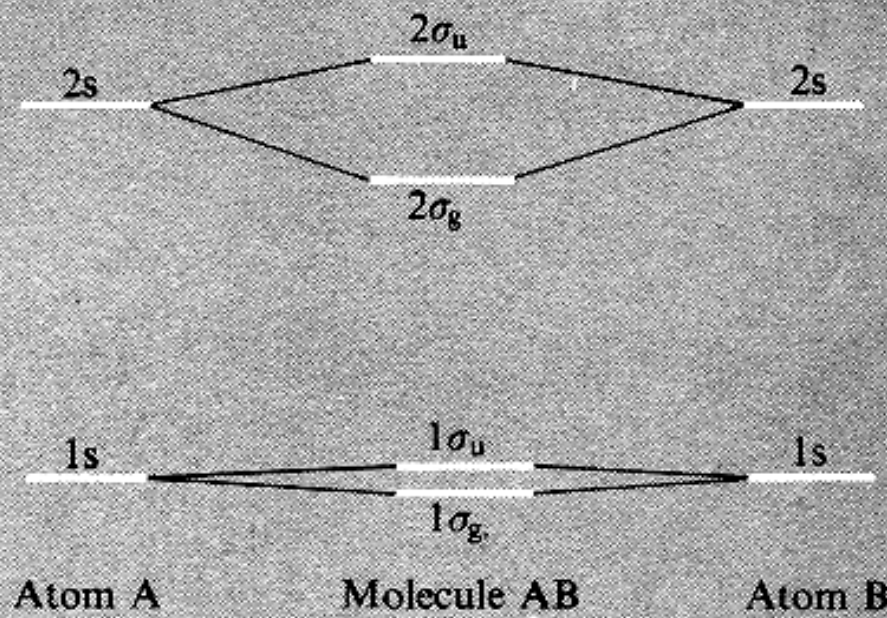


Figura 3.11 Diagrama de nível de energia do orbital molecular para o H_2 e moléculas análogas.

Formação de orbitais moleculares em uma molécula diatômica, a partir dos orbitais atônicos



Espectro fotoeletrônico do N₂, mostrando a ionização de quatro orbitais



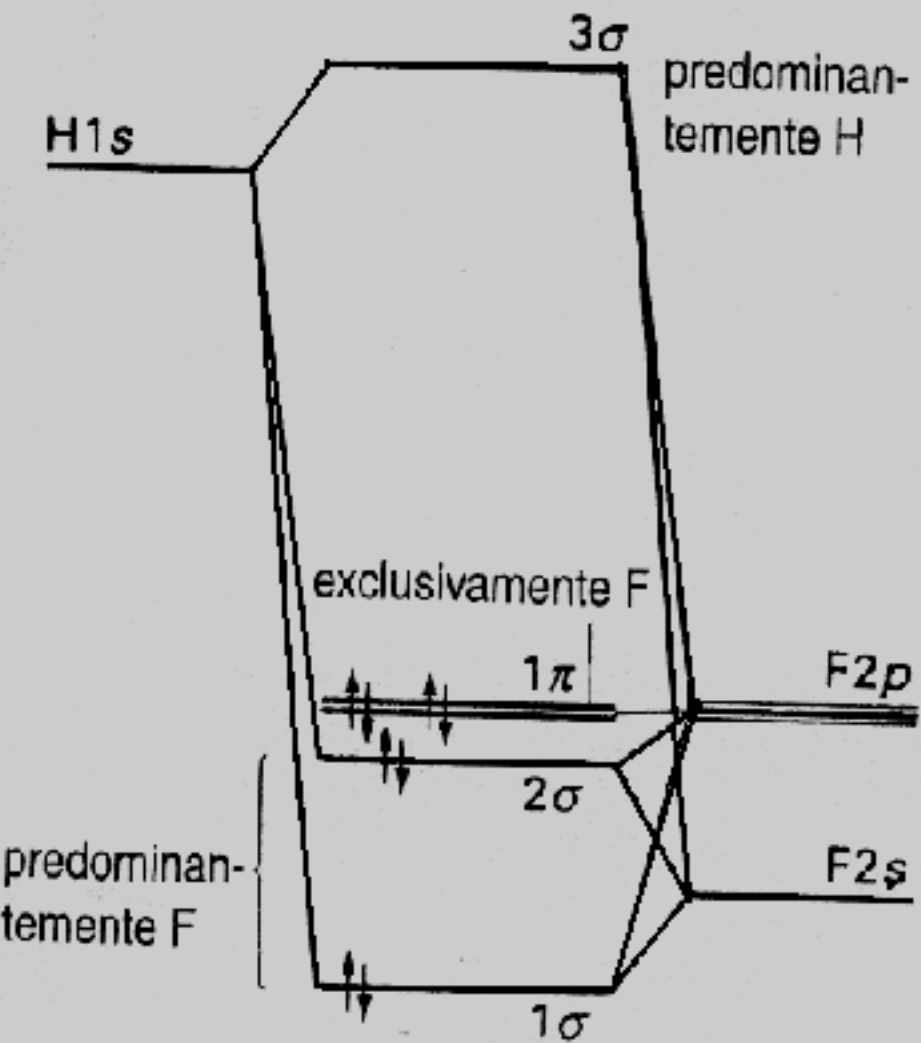
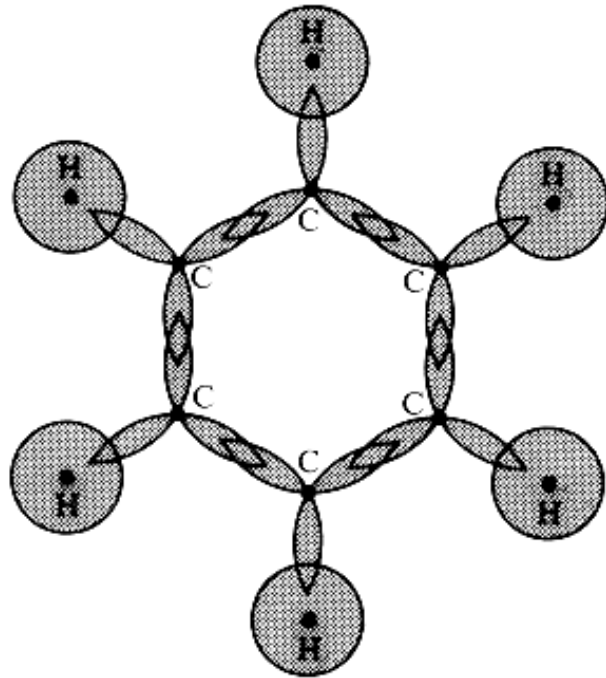
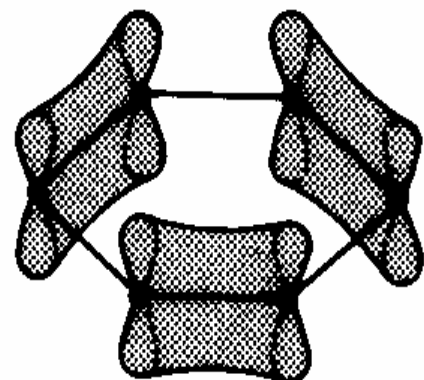
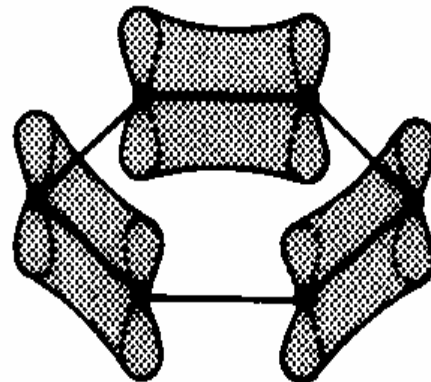
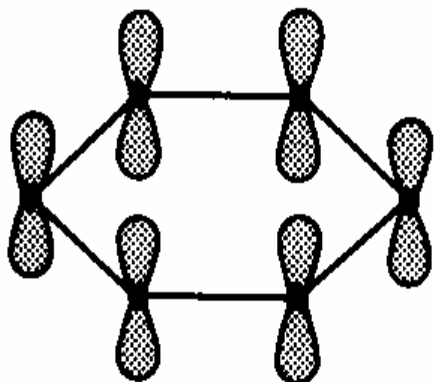
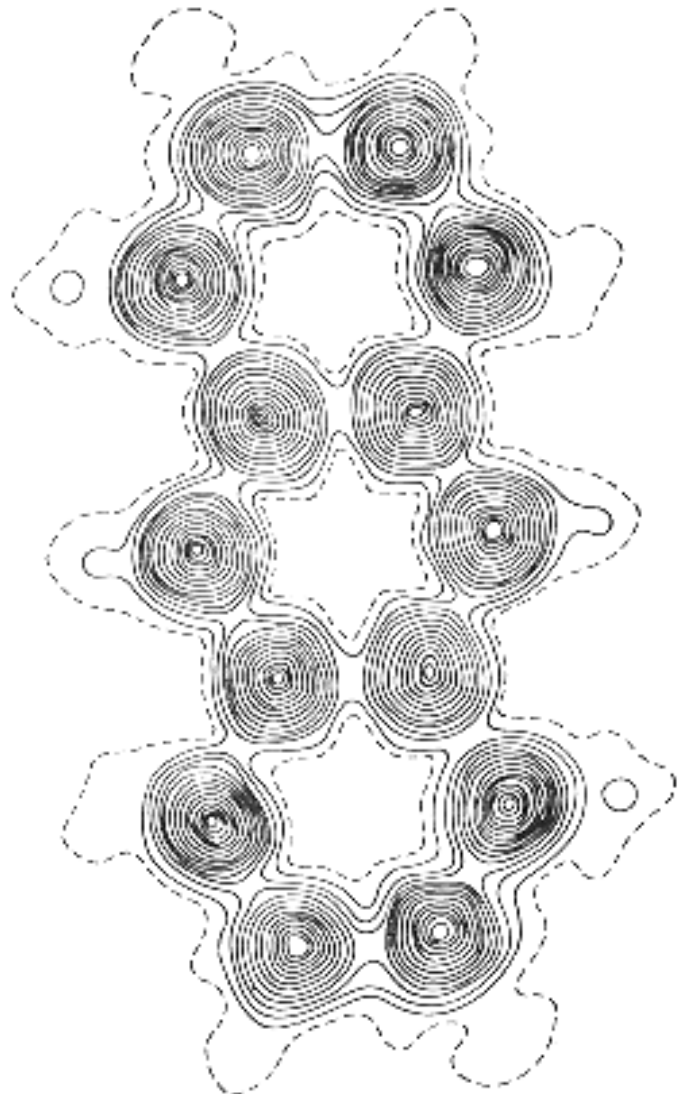


Figura 3.21 Diagrama de nível de energia do orbital molecular para o HF. As posições relativas dos orbitais atômicos refletem as energias de ionização dos átomos.



Benzeno: ligações sigma e pi
Todas as distâncias do anel
são idênticas e as densidades
eletrônicas são equivalentes.





Mapa de distribuição das densidades eletrônicas em antraceno: $C_{14}H_{10}$

- Ligações entre carbonos são duplas ou simples?
- Há distinção nítida entre os H?

► A ressonância entre estruturas de Lewis abaixa a energia calculada da molécula e modela o caráter de ligação, distribuindo-a sobre uma molécula. As estruturas de Lewis com energias similares fornecem uma maior estabilização de ressonância.

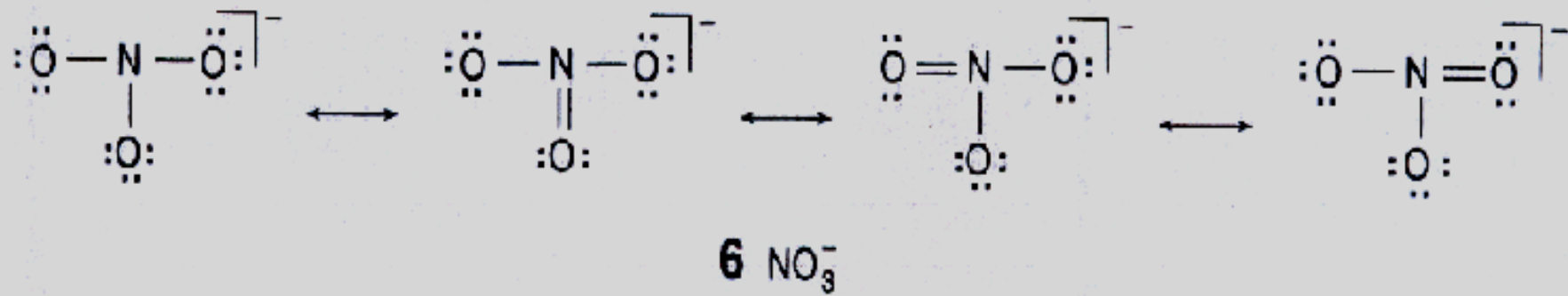


Tabela 3.3 Comprimentos de ligação

	$R_e/\text{\AA}$
H+2	1,06
H2	0,74
HF	0,92
HCl	1,27
HBr	1,41
HI	1,60
N2	1,09
O2	1,21
F2	1,44
Cl2	1,99
I2	2,67

Fonte: G. Herzberg, *Spectra of diatomic molecules*, Van Nostrand, Princeton (1950).

Tabela 3.4 Raios covalentes* (r_{cov} / Å)**H**

0,37

C

	N	O	F
0,77(1)	0,74(1)	0,66(1)	0,64
0,67(2)	0,65(2)	0,57(2)	
0,60(3)			

Si

	P	S	Cl
1,18(1)	1,10	1,04(1)	0,99
		0,95(2)	

Ge

	As	Se	Br
1,22(1)	1,21	1,04	1,14
	Sb	Te	I

1,41

1,37

1,33

*Valores para ligações simples, exceto onde estabelecido (em parênteses).

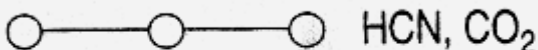
Tabela 3.5 Entalpias médias de ligação* ($B / \text{kJ mol}^{-1}$)

	H	C	N	O	F	Cl	Br	I	S	P	Si
H	436										
C	412	348(1)									
		612(2)									
		518(a)									
N	388	305(1)	163(1)								
		613(2)	409(2)								
		890(3)	946(3)								
O	463	360(1)	157	146(1)							
		743(2)		497(2)							
F	565	484	270	185	155						
Cl	431	338	200	203	254	242					
Br	366	276				219	193				
I	299	238				210	178	151			
S	338	259			496	250	212		264		
P	322(1)									201	
	480										
Si	318			466							226

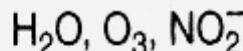
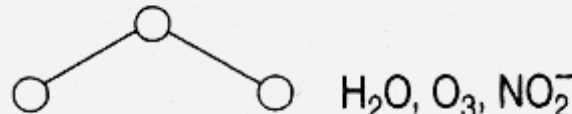
*Valores para ligações simples, exceto onde estabelecido (em parênteses); (a) indica aromático.

Tabela 3.7 Descrição de formas moleculares

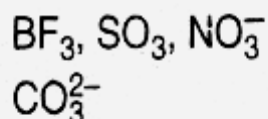
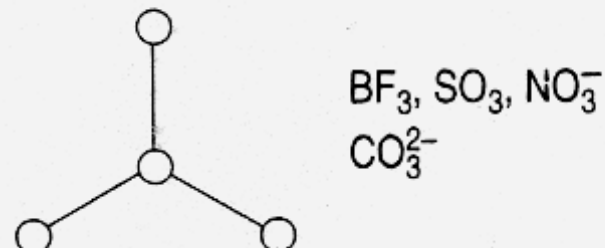
Linear



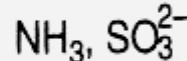
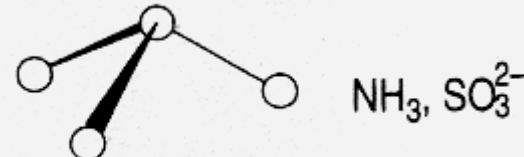
Angular



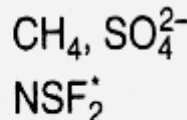
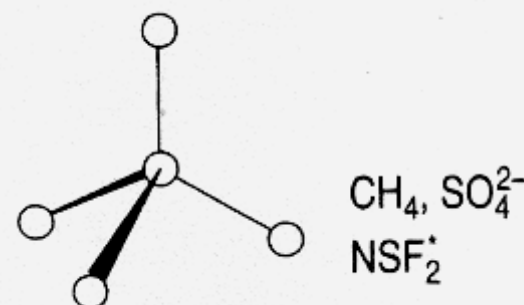
Trigonal planar



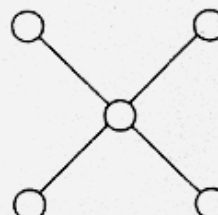
Trigonal piramidal



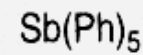
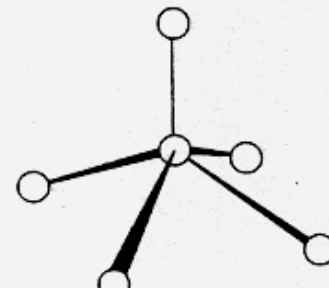
Tetraédrica



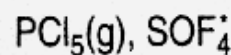
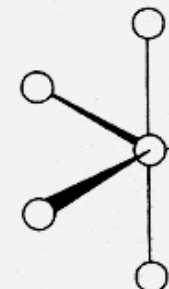
Quadrada planar



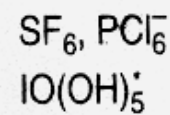
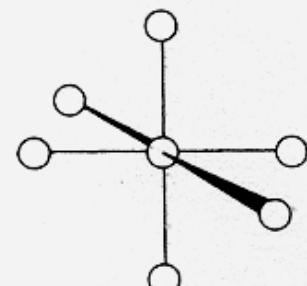
Quadrada piramidal



Trigonal bipiramidal



Octaédrica



* Forma aproximada

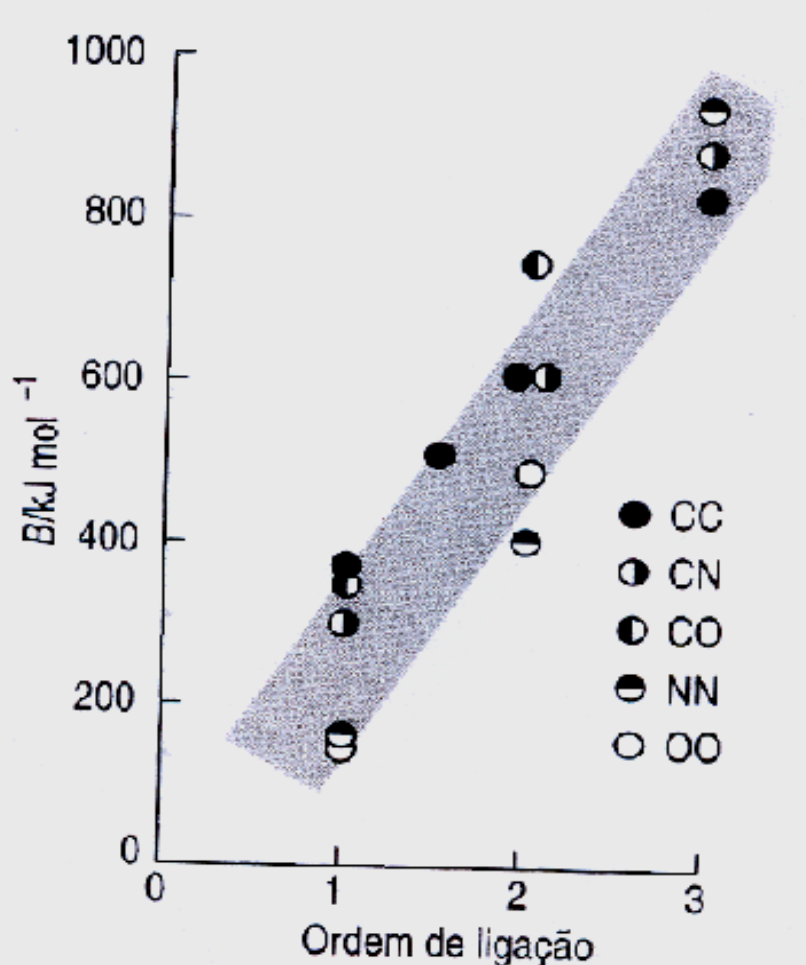


Figura 3.25 Correlação de força de ligação e ordem de ligação.

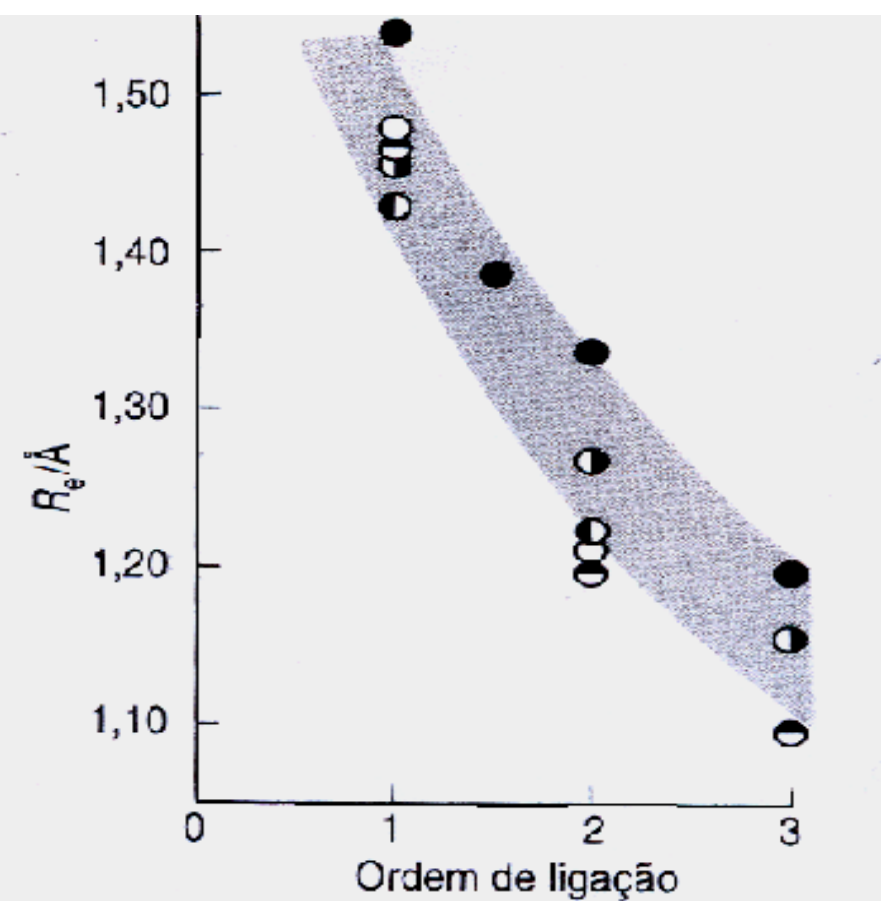
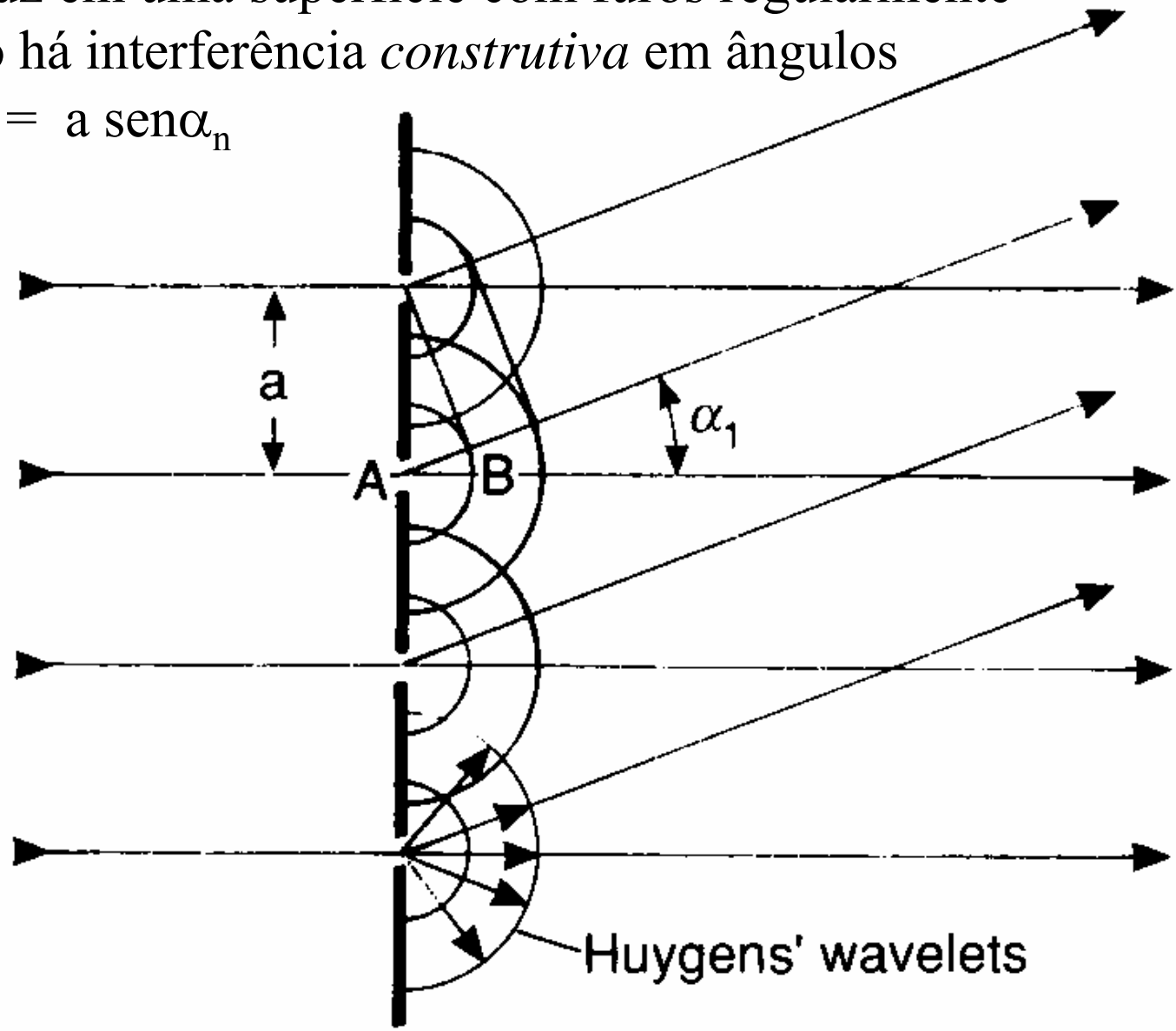
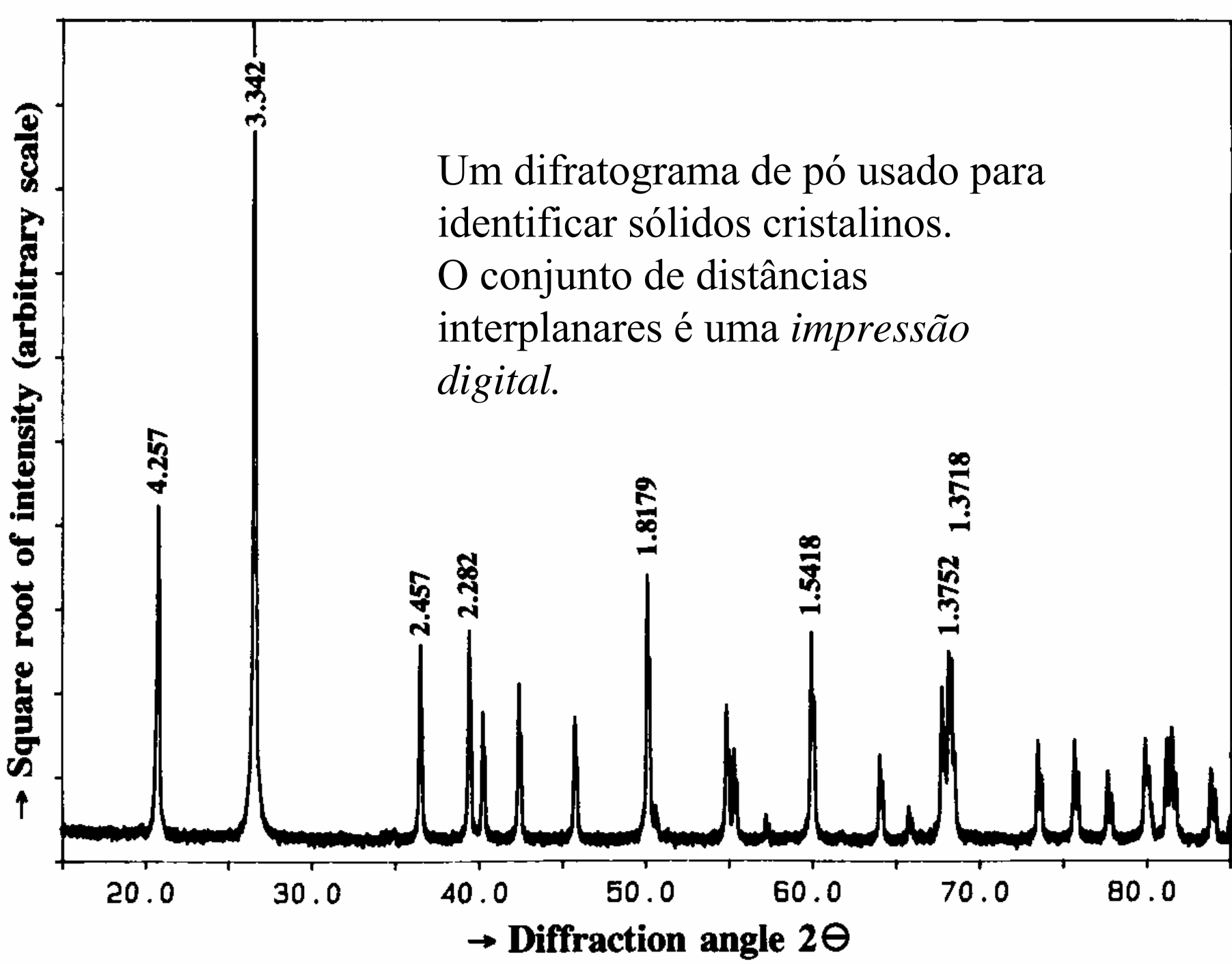


Figura 3.26 Correlação do comprimento de ligação e ordem de ligação. A legenda para esses pontos é o mesma da Figura 3.25.

Difração da luz em uma superfície com furos regularmente espaçados: só há interferência *construtiva* em ângulos definidos: $n\lambda = a \operatorname{sen}\alpha_n$







A black and white electron diffraction pattern showing a central bright spot surrounded by a complex arrangement of smaller spots of varying intensities, characteristic of a face-centered cubic (fcc) crystal structure.

Difratograma de elétrons
de um sólido fcc